

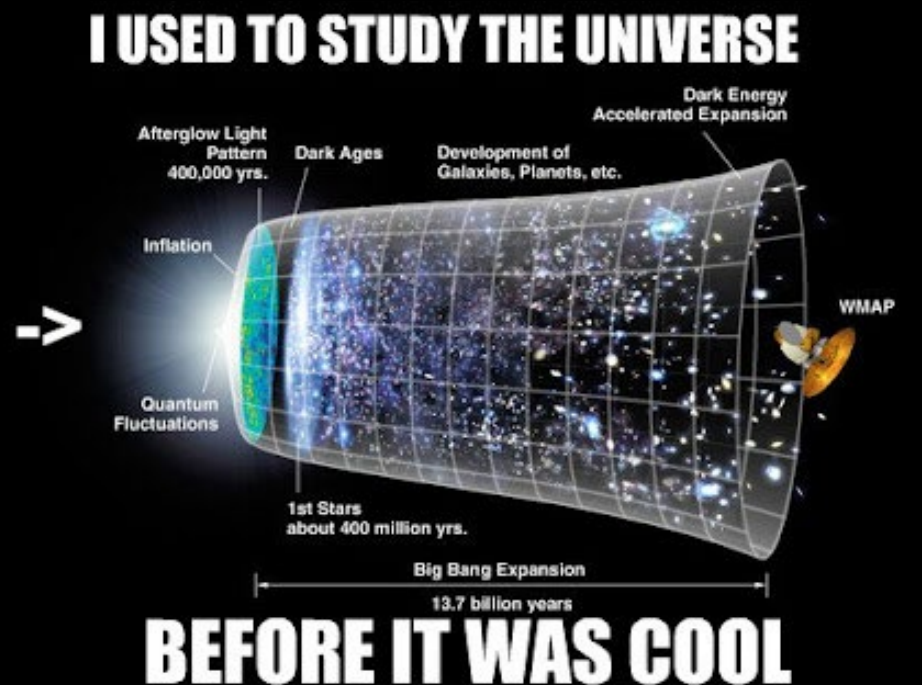
# INFLAÇÃO

FLUTUAÇÕES  
QUÂNTICAS  
PRIMORDIAIS GERAM  
A ESTURA EM LARGA-  
ESCALA

$\Phi$

# Sumário

1. Cosmologia para apressados
2. Motivações para a Inflação
  1. Prévia
  2. Os problemas do horizonte e da planitude
  3. Como a inflação resolve esses problemas
3. Um campo escalar que varia lentamente
4. Perturbações cosmológicas
5. Quantização



Fonte: quickmeme.com





# 1. Cosmologia para apressados

$$R_{\mu\nu} - \frac{1}{2} g_{\mu\nu} R = 8\pi G T_{\mu\nu}$$

O universo é Homogêneo e Isotrópico em largas escalas ( $\sim 150$  Mpc)

$$ds^2 = -dt^2 + a^2(t) \left( \frac{dr^2}{1 - kr^2} + r^2 d\theta^2 + r^2 \sin^2 \theta d\phi^2 \right)$$

O universo está em expansão.  
(Hubble, 1929)

$$H^2 = \left( \frac{\dot{a}}{a} \right)^2 = \frac{8\pi G}{3} \rho - \frac{k}{a^2}$$

O universo é espacialmente plano. ( $k \approx 0$ )

$$\dot{H} + H^2 = \frac{\ddot{a}}{a} = -\frac{4\pi G}{3} (\rho + 3P)$$

$$\dot{\rho} + 3H(\rho + P) = 0$$



# 1. Cosmologia para apressados

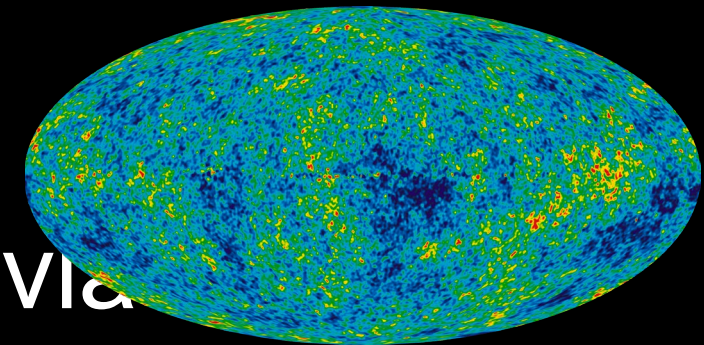
Event	Temperature (T)	Redshift (z)	Time (t)
End of Inflation	$\sim 10^{16}$ GeV	$\sim 10^{29}$	$\sim 10^{-36}$ s
Electroweak Transition	$\sim 100$ GeV	$\sim 10^{15}$	$\sim 10^{-11}$ s
Quark-Hadron Transition	$\sim 150$ MeV	$\sim 10^{12}$	$\sim 10^{-5}$ s
Big Bang Nucleosynthesis (BBN)	$\sim 1$ MeV – 0.1 MeV	$\sim 10^9$	$\sim 1$ s – 3 min
Matter-Radiation Equality	$\sim 0.75$ eV	$\sim 3400$	$\sim 60,000$ yrs
Recombination (CMB)	$\sim 0.25$ eV	$\sim 1100$	$\sim 380,000$ yrs
Matter- $\Lambda$ Equality	$\sim 2.3 \times 10^{-4}$ eV	$\sim 0.3$	$\sim 9.8$ Gyr
Today	$\sim 2.3 \times 10^{-4}$ eV	0	$\sim 13.8$ Gyr



Fonte: Baumann, 2022



Uma fotografia do universo com apenas 370000  
anos 

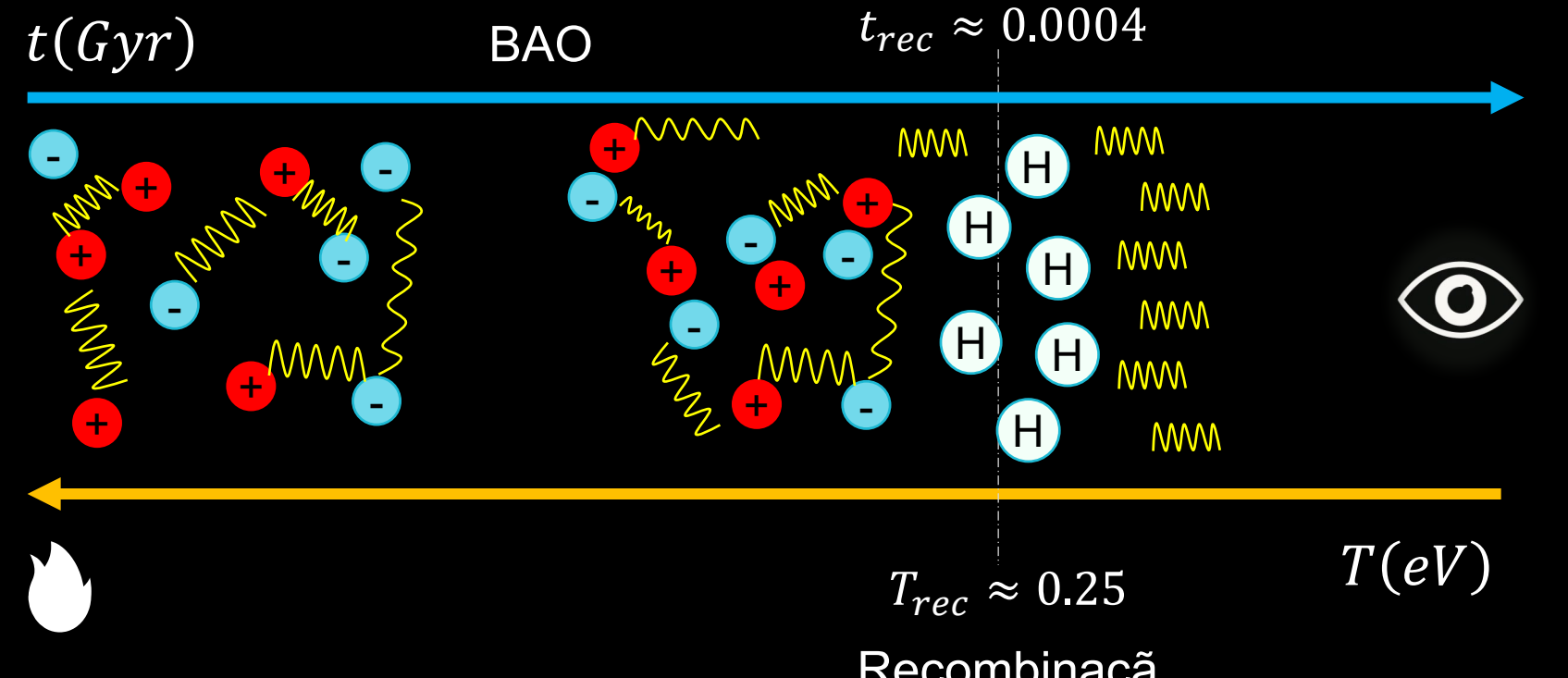


## 2. Motivações para a inflação: prévia

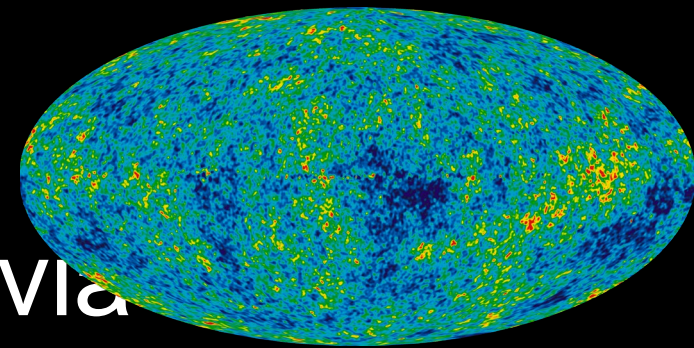
CMB

Horizonte de partículas

Horizonte de Hubble



Uma fotografia do universo com apenas 370000  
anos 

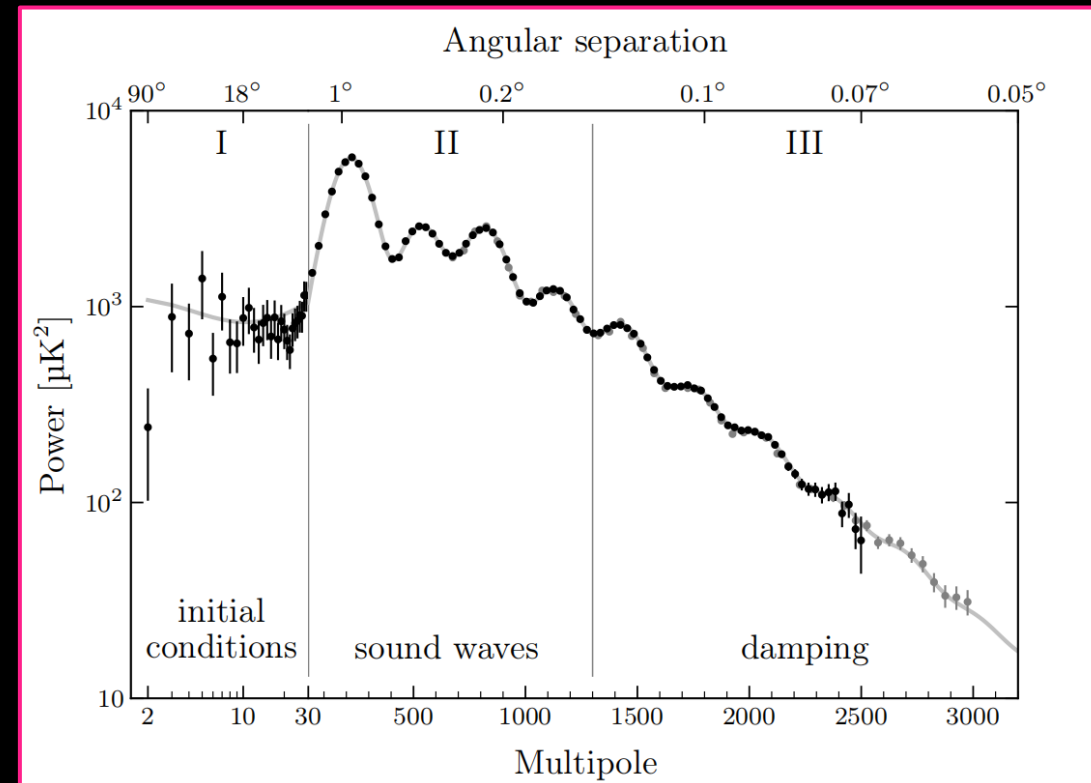


## 2. Motivações para a inflação: prévia

CMB

Horizonte de partículas

Horizonte de Hubble



As flutuações de temperatura da CMB são analisadas estatisticamente medindo-se as *correlações* entre pontos quentes e frios em função de sua separação angular.

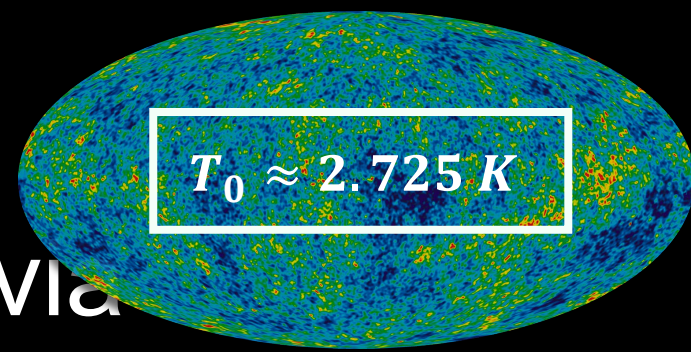
Os modos de Fourier das flutuações primordiais possuem a mesma fase.

Fonte: Baumann, 2022



$$\Theta(\hat{n}) = \frac{\delta T(\hat{n})}{T_0}$$

$T_0 \approx 2.725 K$



## 2. Motivações para a inflação: prévia

CMB

Horizonte de partículas

Horizonte de Hubble

Função de correlação de dois pontos:  
 $C(\theta) = \langle \Theta(\hat{n})\Theta(\hat{n}') \rangle$

Expansão em esféricos harmônicos:

$$\Theta(\hat{n}) = \sum_{l=2}^{\infty} \sum_{m=-l}^{l} a_{lm} Y_{lm}(\hat{n})$$

Expansão sobre o espectro de potências:

$$C(\theta) = \sum_l \frac{2l+1}{4\pi} C_l P_l(\cos(\theta))$$

$$C_l \delta_{ll'} \delta_{mm'} = \langle a_{lm} a_{l'm'}^* \rangle$$

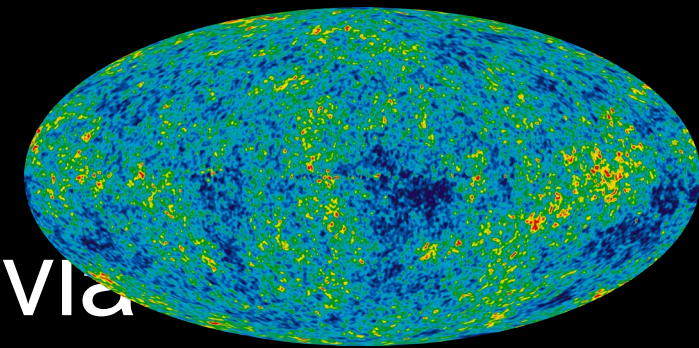
Existe uma importante relação entre o espectro das perturbações primordiais de curvatura e o espectro angular de potências das anisotropias da CMB!

\*\*Coming  
soon\*\*

$$C_l = \int_{-1}^1 d(\cos(\theta)) C(\theta) P_l(\cos(\theta))$$



Homogênea e isotrópica em uma parte em  
 $10^5$



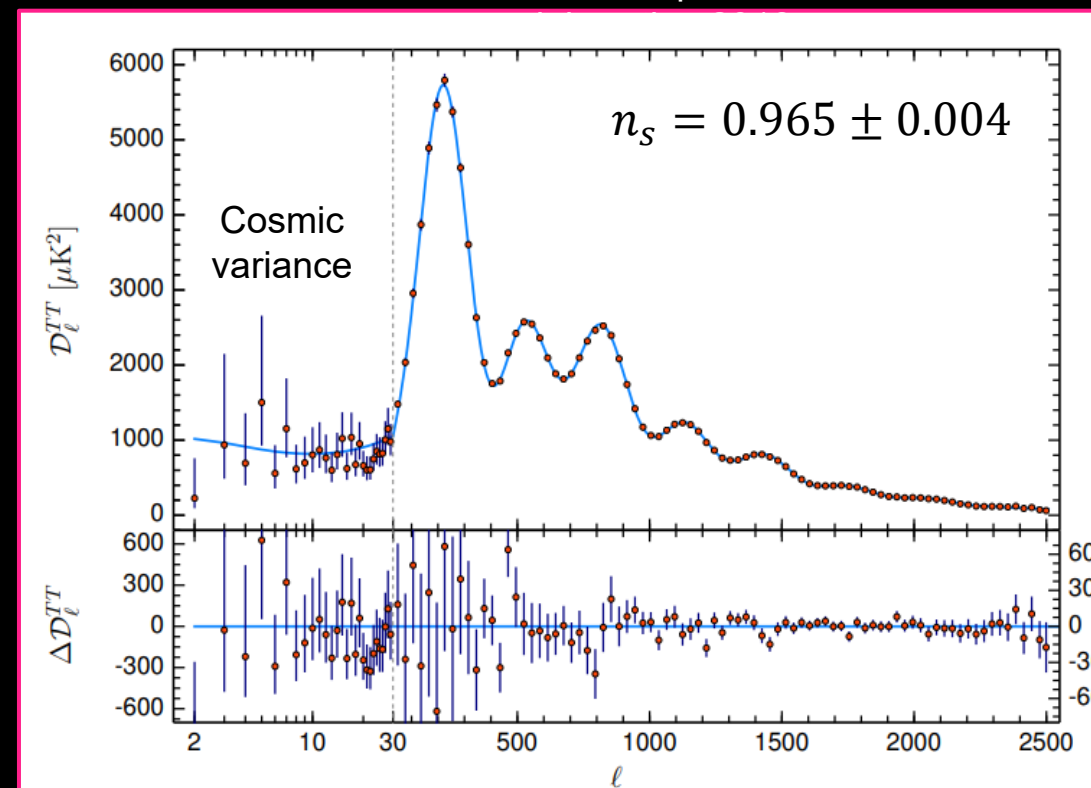
## 2. Motivações para a inflação: prévia

Fonte: Adaptado de Planck

CMB

Horizonte de partículas

Horizonte de Hubble



Mudando a base:

$$C_l = 4\pi \int d(\ln k) \Theta_l^2(k) \Delta^2(k)$$

Esse fitting é feito  
utilizando-se o ansatz:

$$\Delta^2(k) = A_s \left( \frac{k}{k_0} \right)^{n_s - 1}$$

Quase invariante de escala!

A concordância é extraordinária.



## 2. Motivações para a inflação: prévia

CMB

Definimos o tempo conforme  $\eta$ , de forma que os cones de luz na métrica cosmológica sejam linhas retas:

Horizonte de partículas

$$d\eta = \frac{dt}{a}$$

$$ds^2 = a^2(\eta)(-d\eta^2 + \delta_{ij}dx^i dx^j)$$

Horizonte de Hubble

Um evento qualquer só pode ter sido influenciado por eventos que estão dentro do horizonte de partículas.



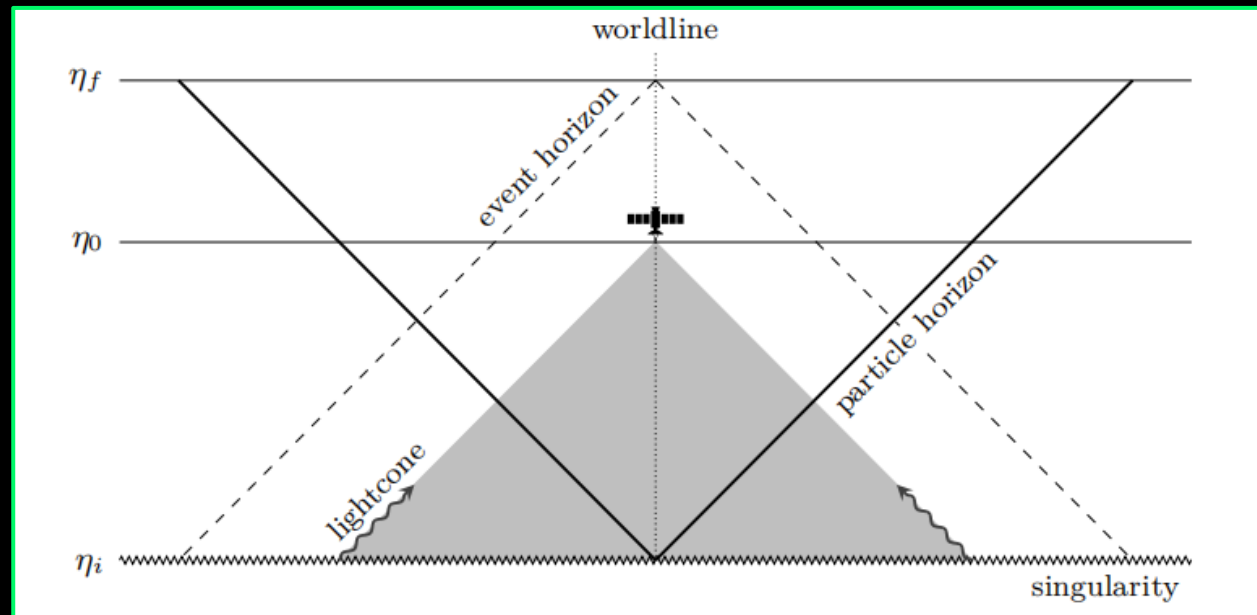
## 2. Motivações para a inflação: prévia

Fonte: Baumann, 2022

CMB

Horizonte de partículas

Horizonte de Hubble



$$\chi_p = \eta_0 - \eta_i = \int \frac{dt}{a(t)}$$

Se o universo for  
dominado por radiação:  
 $a \propto t^{1/2} \propto \eta$

$$d_p = a(t)\chi_p = a(t) \int \frac{dt'}{a(t')}$$

Horizonte físico, ou próprio

No passado as  
superfícies  
causalmente  
conectadas eram  
menores!

O horizonte de  
partículas decresce  
no passado.

$$d_p = 2t$$

$$\chi_p = \eta_0 - \eta_i \propto t^{1/2}$$



## 2. Motivações para a inflação: prévia

CMB

Em um universo em expansão:  
Distância física = (fator de escala) x (distância comóvel)

Horizonte de partículas

$$v = Hr$$

Existe então uma superfície  $R_H$  tal  
que a velocidade de recessão é igual  
à da luz.

$$R_H = \frac{c}{H}$$

Horizonte de Hubble

Tomando  $c = 1$  e escrevendo em  
termos de coordenadas  
comóveis ( $R_H = ar_H$ )

$$r_H = \frac{1}{aH}$$



## 2. Motivações para a inflação: prévia

CMB

Ele mede o tamanho comóvel da região que está causalmente conectada em uma escala de Hubble.

Horizonte de partículas

Em um universo dominado por radiação:

$$r_H \propto t^{1/2} \propto \eta$$

Horizonte de Hubble

Os modos de Fourier ( $k$ ) de perturbações lineares,  $\delta_i(k, t)$ , possuem comprimentos de onda que evoluem como:

$$\lambda_k(t) = a(t) \times \frac{2\pi}{k}$$

$$\lambda_k(t) \propto t^{1/2}$$

Flutuações evoluem diferente dentro e fora do horizonte.



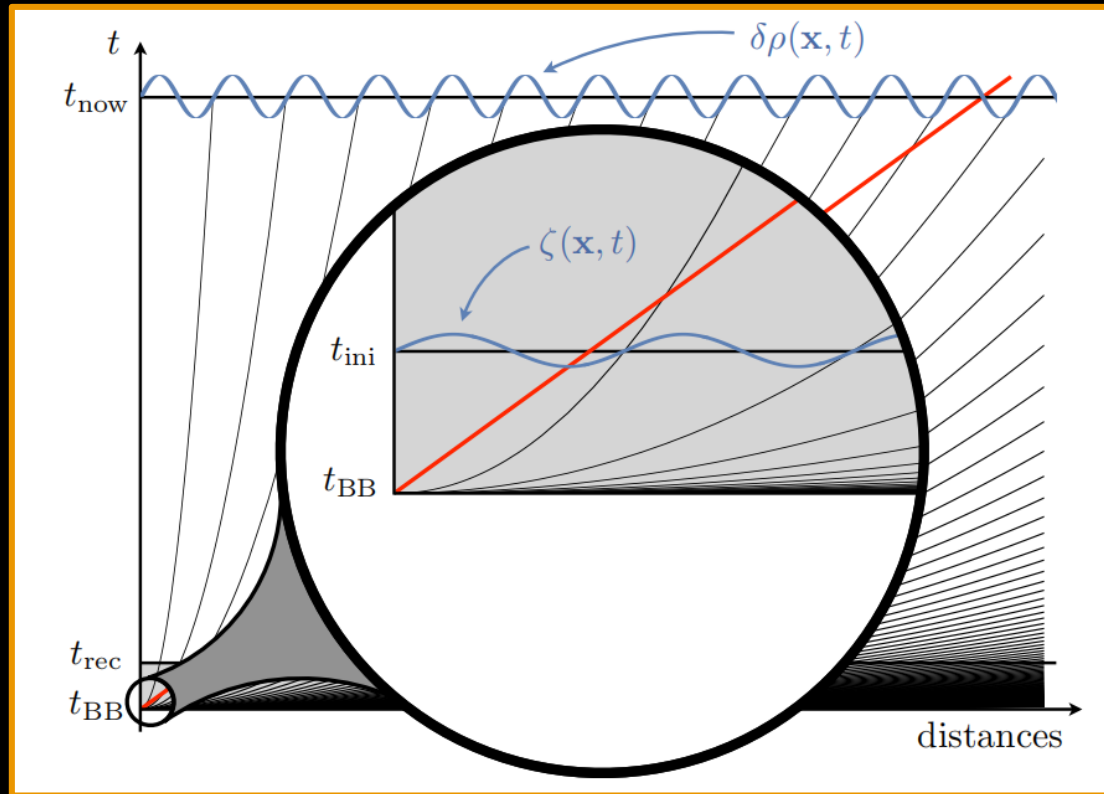
## 2. Motivações para a inflação: prévia

Fonte: Palma, 2008

CMB

Horizonte de partículas

Horizonte de Hubble



Todas as inomogeneidades observadas existiram fora do horizonte imediatamente após a singularidade!

A CMB mostra anisotropias com correlações em escalas angulares **maiores do que o horizonte no instante de desacoplamento.**

## 2. Motivações para a inflação: prévia

CMB

O Universo jovem era extremamente homogêneo e isotrópico *ao longo de grandes escalas*, apresentando pequenas flutuações primordiais.

Horizonte de partículas

Estabelece qual a distância máxima sobre a qual um evento do passado poderia influenciar um outro no futuro. Aumenta com o tempo, era *menor* no passado.

Horizonte de Hubble

Perturbações separadas por distâncias maiores que  $(aH)^{-1}$  não podem se influenciar localmente, somente após entrarem no horizonte.



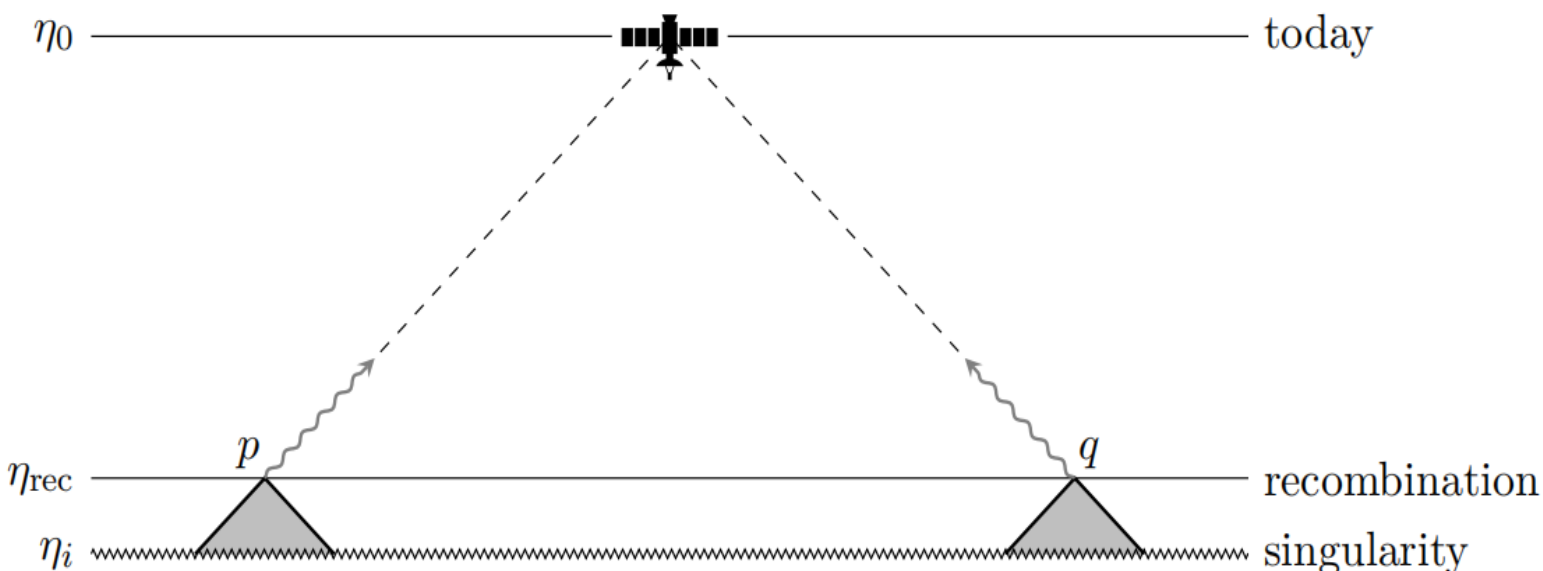


## 2. Motivações para a inflação: o problema do horizonte

A luz emitida pela CMB é extremamente homogênea e isotrópica ao longo de áreas que nunca estiveram causalmente conectadas. Como?

$$\eta = \int \frac{d(\ln a')}{a' H}$$

$$d_h^{rec} \approx 265 \text{ Mpc}$$



É possível demonstrar que isso corresponde a um ângulo subentendido de  $2^\circ$  no céu!

Existem perturbações que entram no horizonte antes da recombinação que estiveram fora do horizonte próximo da singularidade.

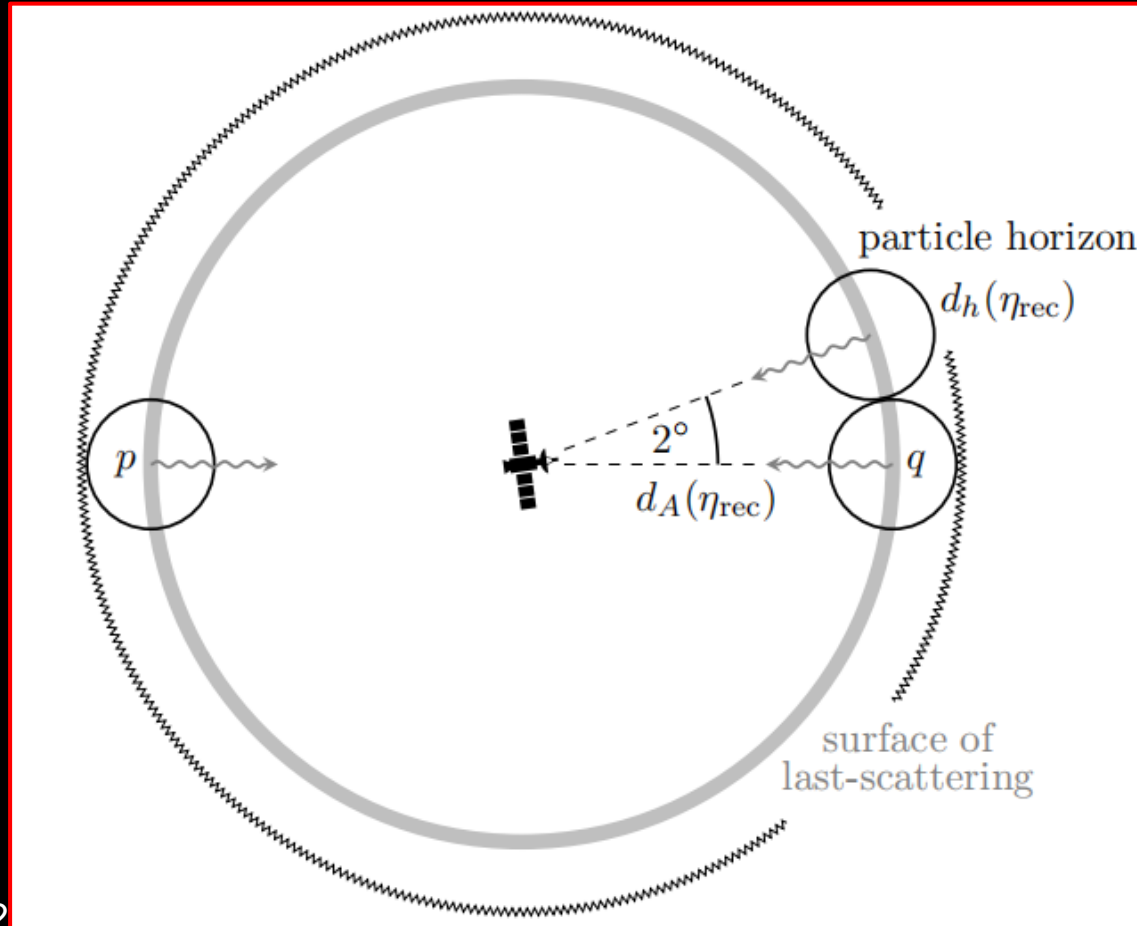
Como é possível que haja correlações entre as anisotropias da CMB em escalas não causais?

Fonte: Baumann, 2022





## 2. Motivações para a inflação: o problema do horizonte



Fonte: Baumann, 202

Existe um total de 40000 “pedaços” do céu causalmente desconectados na CMB

E existem correlações entre as flutuações em escalas maiores que a compreendida pelo horizonte na época da recombinação.

Além disso a temperatura média é a mesma ao longo de todo o céu.

Qual a origem dessas correlações?





## 2. Motivações para a inflação: o problema da planitude

Quais condições iniciais o universo deveria ter para reproduzir o que é observado hoje?

O que determina o quanto plano é o universo é a sua distribuição de matéria/energia.

Podemos escrever as equações de Friedmann como:

$$1 = \Omega(t) + \frac{k}{(aH)^2}$$

$$\Omega(t) = \frac{\rho}{\rho_c} = \frac{8\pi G}{3H^2} \rho$$

Pior:

Exige um altíssimo “fine-tuning” nas condições iniciais, ao longo de regiões causalmente desconectadas!

$$|\Omega_k^{BBN}| < 10^{-16}$$
$$|\Omega_k^{EW}| < 10^{-29}$$

Exige um altíssimo “fine-tuning” nas condições iniciais.

Mas  $(aH)^{-1}$  tende a diminuir no passado.

Se o Universo é plano hoje, tem que ter sido ainda mais plano no passado.



## 2. Motivações para a inflação

Como a inflação resolve essas inconsistências?

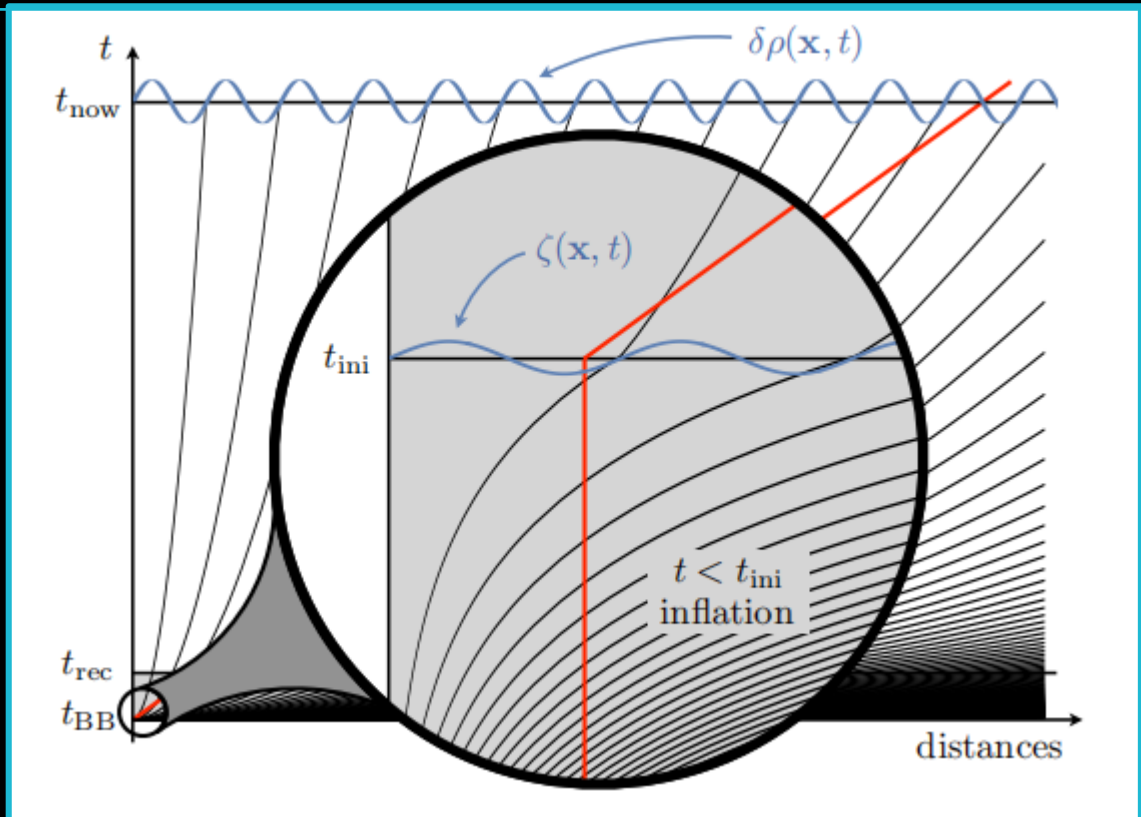
Diminuindo o horizonte de Hubble!

$$\frac{d}{dt} \left( \frac{1}{aH} \right) = -\frac{\ddot{a}}{(aH)^2} < 0 \rightarrow \ddot{a} > 0$$

(Expansão acelerada!)  
(Elimina o problema da planitude de cara!)

Como conseguir expansão acelerada no universo?

Fonte: Palma, 2008



### 3. Um campo escalar que varia lentamente

Olhando para a segunda equação de Friedmann

$$\frac{\ddot{a}}{a} = -\frac{4\pi G}{3}(\rho + 3P) \rightarrow \ddot{a} > 0 \rightarrow \rho < 3P$$

Uma constante cosmológica faz justamente isso (energia escura por exemplo)

$$H = H_i \rightarrow \dot{a} = H_i a \rightarrow a \propto e^{H_i t}$$

Mas nesse caso a inflação nunca termina.

Não é possível o universo se reaquecer para reproduzir o Big-Bang (reheating problem)

O Universo nessa fase tem que ter  $H$  quase constante.



# 3. Um campo escalar que varia lentamente

Considere um universo dominado por um Campo escalar (Inflaton)

$$\frac{\delta S}{\delta g_{\mu\nu}} = 0$$

$$\frac{\delta S}{\delta \phi} = 0$$

$$S = \int d^4x \sqrt{-g} \left( \frac{1}{16\pi G} R - \frac{1}{2} \partial_\mu \phi \partial^\mu \phi - V(\phi) \right)$$

$$H^2 = \frac{8\pi G}{3} \left( \frac{1}{2} \dot{\phi}^2 + V(\phi) \right)$$

$$\ddot{\phi} + 3H\dot{\phi} + \frac{\partial V}{\partial \phi} = 0$$

Se o termo potencial for dominante e quase constante, o parâmetro de Hubble é aproximadamente constante: Quase De-Sitter

E finalmente temos campos no seminário de teoria quântica de campos



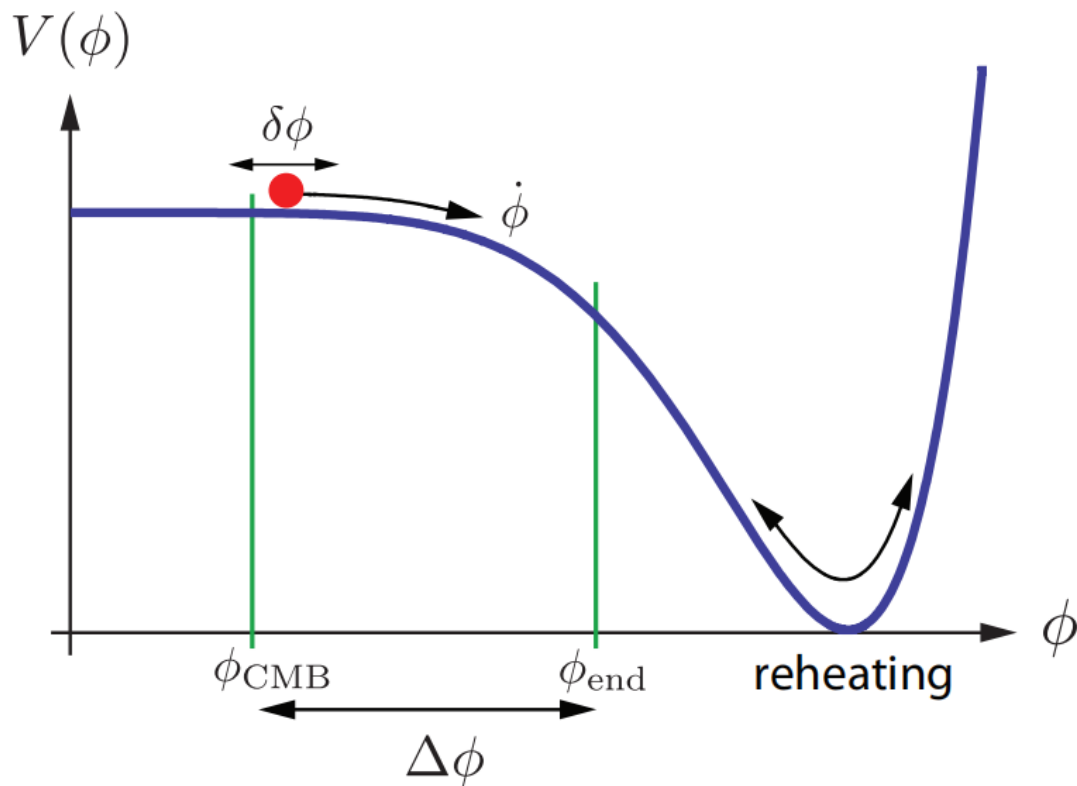
# 3. Um campo escalar que varia lentamente

Para estarmos em “slow-roll” é necessário que

$$\epsilon = -\frac{\dot{H}}{H^2}, \quad \eta = \frac{\dot{\epsilon}}{\epsilon H}$$

Sejam ambos pequenos ( $\ll 1$ )

Essas condições impõem fortes restrições na forma dos potenciais.



Fonte: Baumann, 2012

Daqui em diante buscamos entender como que as flutuações quânticas no vácuo do Inflaton dão origem às flutuações de curvatura primordiais.

# 4. Perturbações cosmológicas

$$g_{\mu\nu} = \bar{g}_{\mu\nu} + h_{\mu\nu}$$

Métrica do "Background", FLRW

E para o campo escalar:

$$\phi(x, t) = \phi_0(t) + \delta\phi(x, t)$$
$$\delta\rho = \dot{\phi}_0 \delta\phi + \delta\phi \partial_\phi V$$
$$\delta p = \dot{\phi}_0 \delta\phi - \delta\phi \partial_\phi V$$
$$\delta u = -\frac{1}{\dot{\phi}_0} \delta\phi$$

Perturbação na métrica: decomposição SVT  
(SVT componentes don't mix at linear order)

$$h_{00} = -2A$$
$$h_{0i} = a(t)(\partial_i C + F_i)$$
$$h_{ij} = a^2(t)(2B\delta_{ij} + D_{ij}E + \partial_i G_j + \partial_j G_i + \gamma_{ij})$$

Onde:

$$D_{ij} = \left( \partial_i \partial_j - \frac{1}{3} \delta_{ij} \nabla^2 \right)$$

+ outras condições sobre  $F_i, G_i, \gamma_{ij}$

# 4. Perturbações cosmológicas: liberdade de gauge

$$\phi(x, t) = \phi_0(t) + \delta\phi(x, t)$$

$$\begin{aligned}\delta\rho &= \dot{\phi}_0 \delta\phi + \delta\phi \partial_\phi V \\ \delta p &= \dot{\phi}_0 \delta\phi - \delta\phi \partial_\phi V\end{aligned}$$

$$\delta u = -\frac{1}{\dot{\phi}_0} \delta\phi$$

A Relatividade Geral é invariante sob diffeomorfismos.

$$x^\mu \rightarrow x^{\mu'} = x^\mu + \xi^\mu$$

Uma mudança de coordenadas reescreve as perturbações, podendo eliminar perturbações reais ou criar perturbações fictícias.

$$g_{\mu\nu} = \bar{g}_{\mu\nu} + h_{\mu\nu}$$

$$\begin{aligned}h_{00} &= -2A \\ h_{0i} &= a(t)(\partial_i C + F_i) \\ h_{ij} &= a^2(t)(2B\delta_{ij} + D_{ij}E + \partial_i G_j + \partial_j G_i + \gamma_{ij})\end{aligned}$$

Gotta fix the gauge.





$$\xi_i = \partial_i \xi^S + \xi_i^V$$

$$x^\mu \rightarrow x^{\mu'} = x^\mu + \xi^\mu$$

## 4. Perturbações cosmológicas: liberdade de gauge

$$\phi(x, t) = \phi_0(t) + \delta\phi(x, t)$$

$$\begin{aligned}\delta\rho &= \dot{\phi}_0 \delta\phi + \delta\phi \partial_\phi V \\ \delta p &= \dot{\phi}_0 \delta\phi - \delta\phi \partial_\phi V\end{aligned}$$

$$\delta u = -\frac{1}{\dot{\phi}_0} \delta\phi$$

$$g_{\mu\nu} = \bar{g}_{\mu\nu} + h_{\mu\nu}$$

$$\begin{aligned}h_{00} &= -2A \\ h_{0i} &= a(t)(\partial_i C + F_i) \\ h_{ij} &= a^2(t)(2B\delta_{ij} + D_{ij}E + \partial_i G_j + \partial_j G_i + \gamma_{ij})\end{aligned}$$

$$\begin{aligned}\delta\rho' &= \delta\rho + \xi_0 \dot{\bar{\rho}} \\ \delta u' &= \delta u - \xi_0 \\ \delta p' &= \delta p + \xi_0 \dot{\bar{p}} \\ &\dots\end{aligned}$$

$$\begin{aligned}A' &= A + \dot{\xi}_0 \\ C' &= C - \frac{1}{a}(\dot{\xi}^S + \xi_0 - 2H\xi^S) \\ F'_i &= F_i - \frac{1}{a}(\dot{\xi}_i^V - 2H\xi_i^V)\end{aligned}$$

$$\begin{aligned}E' &= E - \frac{2}{a^2} \xi^S \\ B' &= B + H\xi_0 - \frac{1}{3a^2} \nabla^2 \xi^S \\ G'_j &= G_j - \frac{1}{a^2} \xi_j^V\end{aligned}$$

Podemos trabalhar com quantidades que são invariantes de gauge, fixar o gauge, ou ambos.

# 4. Perturbações cosmológicas: liberdade de gauge

Existem algumas escolhas de gauge famosas, cada uma servindo a um propósito específico

Escolhemos o gauge comóvel, onde:

$$\delta\phi = 0, \quad E' = 0, \quad G'_i = 0$$

A perturbação de curvatura comóvel é a variável de interesse e é invariante de gauge.

$$\mathcal{R} = B - \frac{1}{6}\nabla^2E - H\delta u$$

Curvatura do espaço nas hipersuperfícies comóveis: isso é, nas fatias espaciais da variedade no referencial comóvel, onde a velocidade peculiar da matéria é nula

A quantização é mais limpa no formalismo ADM

$$h_{ij} = a^2(\eta)(1 + 2\mathcal{R})\delta_{ij}$$

# $\lim_{\epsilon \rightarrow 0^+} (5 - \epsilon) \cdot$ Ação para a perturbação de curvatura

Escrevemos a métrica utilizando o formalismo ADM: (É mais fácil de separar os graus de liberdade físicos dos vínculos)

A ação de Einstein-Hilbert torna-se:

A curvatura extrínseca é definida como:

A ação para um campo escalar minimamente acoplado à gravidade torna-se:

$$ds^2 = -\mathcal{N}^2 dt^2 + q_{ij}(\mathcal{N}^i dt + dx^i)(\mathcal{N}^j dt + dx^j)$$

$$S_{EH} = \frac{1}{16\pi G} \int dt \int d^3x \sqrt{q} \mathcal{N} (R^{(3)} + K_{ij} K^{ij} - K^2)$$

$$K_{ij} = \frac{1}{2\mathcal{N}} (\dot{q}_{ij} - \nabla_i \mathcal{N}_j - \nabla_j \mathcal{N}_i)$$

$$S_\phi = \int dt \int d^3x \sqrt{q} \mathcal{N} \left( \frac{1}{2\mathcal{N}^2} (\dot{\phi} - \mathcal{N}^i \partial_i \phi)^2 - \frac{1}{2} q^{ij} \partial_i \phi \partial_j \phi - V(\phi) \right)$$



# $\lim_{\epsilon \rightarrow 0^+} (5 - \epsilon) \cdot$ Ação para a perturbação de curvatura

O ansatz  $q_{ij} = a^2(t)e^{2\mathcal{R}}\delta_{ij}$  é compatível com a perturbação incluída em todas as ordens em teoria de perturbação.

Introduzimos uma perturbação com a forma:  $\mathcal{N} = 1 - \delta\mathcal{N}$  e expandimos em segunda ordem em  $\mathcal{N}, \mathcal{N}_i$  e  $\mathcal{R}$

Em primeira ordem obtemos vínculos não dinâmicos que uma vez substituídos na expressão em segunda ordem obtemos o resultado importante:

$$S = \frac{1}{2} \int d^4x a^3 e^{3\mathcal{R}} \left[ m_{Pl}^2 \left( \mathcal{N} a^{-2} e^{-2\mathcal{R}} [-4\nabla^2\mathcal{R} - 2(\nabla\mathcal{R})^2] \right. \right. \\ \left. \left. + \frac{1}{\mathcal{N}} \left[ -6(H + \dot{\mathcal{R}} - \mathcal{N}^k \partial_k \mathcal{R})^2 + 4(H + \dot{\mathcal{R}} - \mathcal{N}^k \partial_k \mathcal{R}) \partial_i \mathcal{N}^i \right] \right. \right. \\ \left. \left. + \frac{1}{\mathcal{N}} \left[ \frac{1}{2} \partial_i \mathcal{N}^j \partial_j \mathcal{N}^i + \frac{1}{2} \delta_{ij} \delta^{kl} \partial_k \mathcal{N}^i \partial_l \mathcal{N}^j - (\partial_i \mathcal{N}^i)^2 \right] \right) \right. \\ \left. + \frac{1}{\mathcal{N}} \dot{\phi}_0^2 - 2\mathcal{N}V(\phi_0) \right].$$

(Me rendi, não vou datilografar esse monstro aqui

$$S_{\mathcal{R}}^{(2)} = m_{pl}^2 \int d^4x a^3 \epsilon \left[ \dot{\mathcal{R}}^2 - \frac{1}{a^2} (\nabla\mathcal{R})^2 \right]$$



# 5. Quantização em background curvo

Finalmente:

$$S_{\mathcal{R}}^{(2)} = m_{pl}^2 \int d^4x a^3 \epsilon \left[ \dot{\mathcal{R}}^2 - \frac{1}{a^2} (\nabla \mathcal{R})^2 \right]$$

Uma vez que no nosso gauge  $\delta\phi = 0$ , as perturbações do campo são transferidas para o setor gravitacional.

Nos resta apenas quantizar  $\mathcal{R}$  e calcular seu espectro de potência assumindo como verdadeira a aproximação de slow-roll.



# 5. Quantização em background curvo

Uma forma instrutiva de prosseguir é quantizando o campo escalar em De-Sitter ( $H = \text{constante}$ )

$$S = -\frac{1}{2} \int d^4x \sqrt{-g} (\partial_\mu \phi \partial^\mu \phi + m^2 \phi^2)$$

Introduzindo  $u = a(\tau)\phi$ , e escrevendo em tempo conforme:

$$S = -\frac{1}{2} \int d\tau \int d^3x \left[ (u')^2 - (\nabla u)^2 + \frac{1}{\tau^2} \left( 2 - \frac{m^2}{H^2} \right) u^2 \right]$$

Identificamos o momento canônico como  $\pi(x, \tau) = u'$

$$[\hat{u}(x, \tau), \hat{u}'(y, \tau)] = i\delta(x - y)$$

$$\frac{\delta S}{\delta \hat{u}} = 0 \rightarrow$$

$$\hat{u}'' - \nabla^2 \hat{u} - \frac{1}{\tau^2} \left( 2 - \frac{m^2}{H^2} \right) \hat{u} = 0$$



# 5. Quantização em background curvo

$$\hat{u}'' - \nabla^2 \hat{u} - \frac{1}{\tau^2} \left( 2 - \frac{m^2}{H^2} \right) \hat{u} = 0$$

$$u_k'' + \left[ k^2 - \frac{1}{\tau^2} \left( 2 - \frac{m^2}{H^2} \right) \right] u_k = 0$$

$$\hat{u}(x, \tau) = \int \frac{d^3 k}{(2\pi)^3} [u_k(\tau) \hat{a}_k e^{ikx} + u_k^*(\tau) \hat{a}_k^\dagger e^{-ikx}]$$

$$\hat{\pi}(x, \tau) = \int \frac{d^3 k}{(2\pi)^3} [u'_k(\tau) \hat{a}_k e^{ikx} + u'^*_k(\tau) \hat{a}_k^\dagger e^{-ikx}]$$

$$[\hat{u}(x, \tau), \hat{\pi}(y, \tau)] = i\delta(x - y) \rightarrow [\hat{a}_k, \hat{a}_k^\dagger] = 1$$

Contanto que a relação Wronskiana seja satisfeita:

$$\hat{u}_k(\tau) \hat{u}'_k(\tau) - \hat{u}'_k(\tau) \hat{u}_k^*(\tau) = i$$

A solução geral para essa equação é uma combinação linear de funções de Hankel

$$u_k(\tau) = \alpha_k u^{(1)}(\tau) + \beta_k u^{(2)}(\tau)$$

$$|\alpha_k|^2 - |\beta_k|^2 = 1$$

A escolha desses coeficientes define o vácuo da teoria.





# 5. Quantização em background curvo

Adaptado de Palma,

Vácuo de Bunch-Davies: as soluções tem de corresponder ao que seria no vácuo em Minkowski no ultravioleta

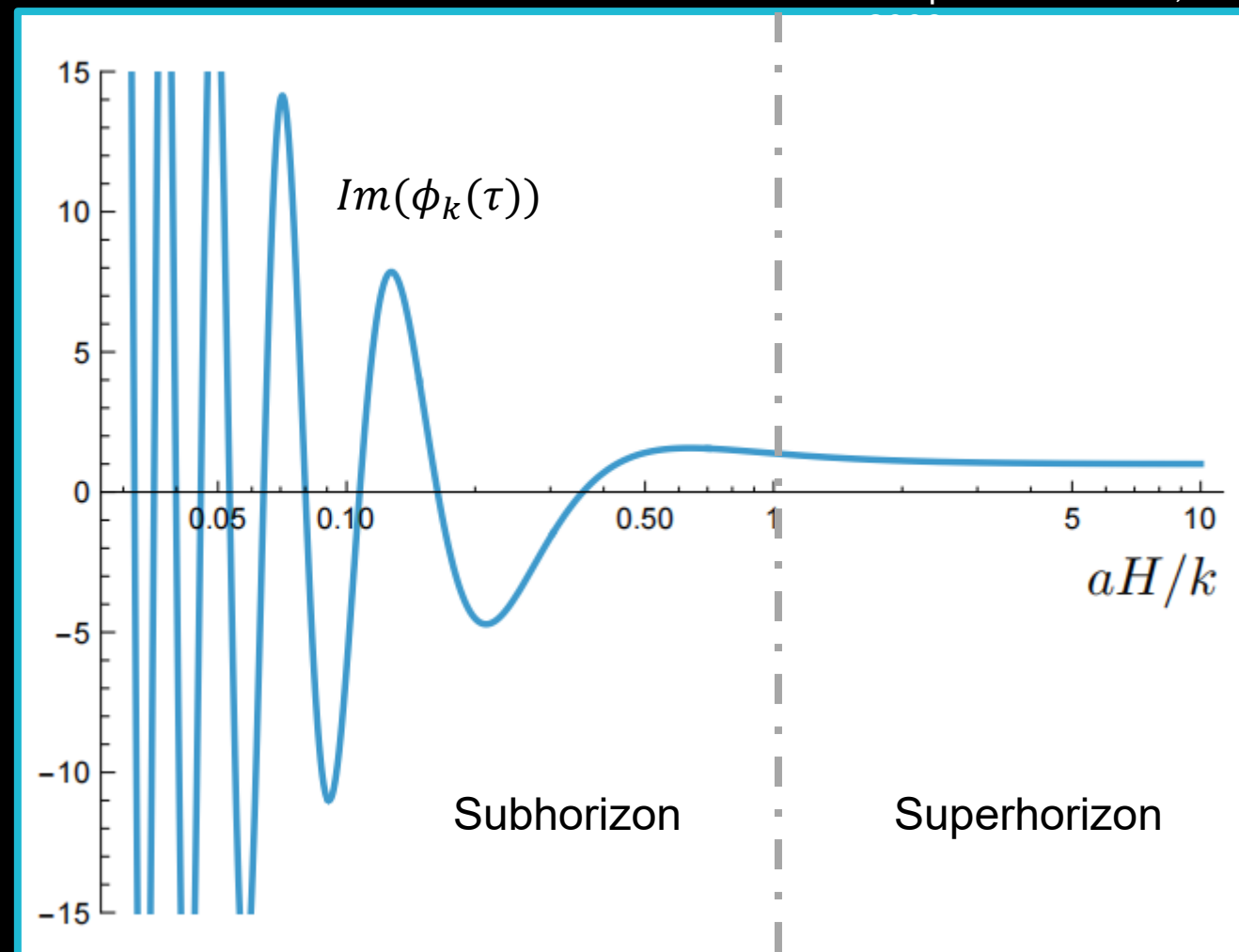
$$u_k(\tau) = \frac{1}{2} \sqrt{\frac{\pi}{k}} (-k\tau)^{\frac{1}{2}} e^{i\pi(\frac{\nu}{2} + \frac{1}{4})} H_{\nu}^1(-k\tau)$$

$$\nu^2 = \frac{9}{4} - \frac{m^2}{H^2}$$

No limite em que  $m =$

0:

$$\phi_k(\tau) = \frac{iH}{\sqrt{2k^3}} (1 + ik\tau) e^{-ik\tau}$$



# 5. Quantização em background curvo

$$\Delta(r_{12}, t) = \langle 0 | \hat{\phi}(r_1, t) \hat{\phi}(r_2, t) | 0 \rangle \longrightarrow \Delta(r_{12}, \tau) = \int \frac{d^3 k}{(2\pi)^3} \left( \frac{2\pi^2}{k^3} \right) \Delta_\phi(k, t) e^{-ikr_{12}}$$

$$\boxed{\Delta_\phi(k, t) = \frac{1}{2\pi^2} k^3 |\phi_k(t)|^2}$$

Espectro de potências  
adimensional



# 5. Quantização em background curvo

$$\Delta_\phi(k, t) = \frac{1}{2\pi^2} k^3 |\phi_k(t)|^2$$

$$\phi_k(\tau) = \frac{iH}{\sqrt{2k^3}} (1 + ik\tau) e^{-ik\tau}$$

$$\Delta_\phi(k, t) = \frac{H^2}{4\pi^2} (1 + |k\tau|^2)$$

$$|k\tau| \rightarrow 0$$

$$\Delta_\phi(k, t) = \frac{H^2}{4\pi^2}$$

Invariante de escala



$$\epsilon = -\frac{\dot{H}}{H^2}$$

$$\eta = \frac{\dot{\epsilon}}{\epsilon H}$$

# 5. Quantização em background curvo

Finalmente:

$$S_{\mathcal{R}}^{(2)} = m_{pl}^2 \int d\eta \int d^3x a^2 \epsilon \left[ \dot{\mathcal{R}}^2 - \frac{1}{a^2} (\nabla \mathcal{R})^2 \right]$$

Introduzindo  
 $u = m_{pl}^2 \sqrt{2\epsilon} a \mathcal{R}$   
 E integrando por partes:

$$S_{\mathcal{R}}^{(2)} = \frac{1}{2} \int d\tau \int d^3x \left[ (u')^2 - (\nabla u)^2 + a^2 H^2 \left( 2 - \epsilon + \frac{3}{2}\eta + O(\epsilon^2, \eta^2) \right) u^2 \right]$$

$$\tau = -\frac{1}{aH(1-\epsilon)}$$

Podemos demonstrar isso  
 expandindo H nos  
 parâmetros de slow-roll

$$S_{\mathcal{R}}^{(2)} = \frac{1}{2} \int d\tau \int d^3x \left[ (u')^2 - (\nabla u)^2 + \frac{1}{\tau^2} \left( 2 + \epsilon + \frac{3}{2}\eta \right) u^2 \right]$$

Prosseguimos da mesma forma.

Isso é idêntico a ação de um campo escalar massivo em De Sitter com uma massa efetiva:

$$m^2 = -3H^2 \left( \epsilon + \frac{1}{2}\eta \right)$$



$$\epsilon = -\frac{\dot{H}}{H^2}$$

$$\eta = \frac{\dot{\epsilon}}{\epsilon H}$$



# 5. Quantização em background curvo

$$S_{\mathcal{R}}^{(2)} = \frac{1}{2} \int d\tau \int d^3x \left[ (u')^2 - (\nabla u)^2 + \frac{1}{\tau^2} \left( 2 + \epsilon + \frac{3}{2}\eta \right) u^2 \right]$$

$$u_k(\tau) = \frac{1}{2} \sqrt{\frac{\pi}{k}} (-k\tau)^{\frac{1}{2}} e^{i\pi(\frac{\nu}{2} + \frac{1}{4})} H_{\nu}^1(-k\tau)$$

$$\nu = \sqrt{\frac{9}{4} + 3\epsilon + \frac{3}{2}\eta} \approx \frac{3}{2} + \epsilon + \frac{1}{2}\eta$$

$$\mathcal{R}_k(\tau) = \frac{iH_0}{\sqrt{4k^3 M_{pl}^2 \epsilon_0}} \left( \frac{k}{H_0} \right)^{-\epsilon - \frac{\eta}{2}}$$

$$\mathcal{R}_k(\tau) = \frac{1}{\sqrt{8M_{pl}^2 \epsilon_0}} H_0^{1+\epsilon_0 + \frac{\eta_0}{2}} \sqrt{\pi} (-\tau)^{\frac{3}{2} + \epsilon + \frac{\eta}{2}} e^{i\pi(\frac{\nu}{2} + \frac{1}{4})} H_{\nu}^{(1)}(-k\tau)$$

$$|k\tau| \rightarrow 0$$



$$\epsilon = -\frac{\dot{H}}{H^2}$$

$$\eta = \frac{\dot{\epsilon}}{\epsilon H}$$

# 5. Quantização em background curvo

$$\mathcal{R}_k(\tau) = \frac{iH_0}{\sqrt{4k^3 M_{pl}^2 \epsilon_0}} \left( \frac{k}{H_0} \right)^{-\epsilon - \frac{\eta}{2}}$$

$n_s$  restringe a forma do potencial inflacionário

$$\Delta_\phi(k, t) = \frac{H^2}{8\pi^2 M_{pl}^2 \epsilon} \left( \frac{k}{H} \right)^{-2\epsilon - \eta}$$

$$\Delta^2(k) = A_s \left( \frac{k}{k_0} \right)^{n_s - 1}$$

Quase invariante de escala!

$$n_s = 0.965 \pm 0.004$$

(E tem bem mais: ondas gravitacionais primordiais, bispectrum...)



- Muito obrigado a todos!

Principais referências:

Palma, Gonzalo A. **Lecture notes on primordial cosmology**. V Joint ICTP-Trieste/ICTP-SAIFR School on Cosmology.

Baumann, Daniel. **TASI Lectures on Inflation**. arXiv:0907.5424v2, 30 Nov 2012.

Baumann, Daniel. **Cosmology**. University Printing House, Cambridge CB2 8BS, United Kingdom, 2022.

THAT'S ALL  
FOLKS!

